

東洋鋼鉄株下松工場

藤村 司 ○安仲健二
平松裕更

1. 緒 言

最近、ふりきにかわる各種の新溶接缶用材料の開発が活発に進められている。そこで本報では、これら各種の新材料について溶接製缶試験を実施し、その結果を前報で述べた接触電気抵抗 (R_c) と鍛接開始温度にもとづいて考察したので報告する。

2. 実験方法

供試材としてはTable 1に示す材料を $210^{\circ}\text{C} \times 20\text{分}$ 空焼きして用いた。溶接実験はワイヤーシーム型商用溶接機を用いて速度 45m/min , 周波数 420Hz , 加圧力 $50\text{kg}\cdot\text{f}$, オーバーラップ $0.35, 0.45, 0.55\text{ mm}$ にて実施した。溶接後の缶はTearing test, Splash発生本数およびX線透過観察により評価した。

3. 実験結果と考察

(1) オーバーラップ 0.45 および 0.55 mm の場合の溶接可能電流範囲 (A.C.R.) は#25ふりき, Ni前めっき極薄すずめっき鋼板(ノーリフロー), 極薄すずめっき鋼板(リフロー), Niめっき鋼板の順に狭くなつた(Fig. 1)。このA.C.R.の順位は前報で報告した材料の R_c と明らかな相関が認められた。

(2) 一方、オーバーラップ 0.35 mm の時には、Niめっき鋼板のA.C.R.は極薄すずめっき鋼板(リフロー)と同等の水準まで近付いた。これは前報で述べた鍛接開始温度がNiめっき鋼板では比較的低く、ラップ単位面積当たりの加圧力の増加に伴ってTearing不良限界温度が下がるためと考えられる。

(3) A.C.R.と R_c および鍛接開始温度との関係を図式的に表わすとFig. 2の様に説明できる。図中に示した溶接部の温度変動巾 (ΔT) は第2報¹⁾で述べたように材料の R_c の大小に対応している。

参考文献 1) 安仲他: 鉄鋼協会第105回講演大会(1983), 講演番号414

Table 1. Specification of test samples.

| Sample | Coating weight | | | Symbol |
|-----------------------------------|----------------------------|---------------------------|----------------------------------|--------|
| | Ni (mg/m ²) | Sn (g/m ²) | Chromate (mg/m ²) | |
| Tinplate | — | 2.8 | 6.0 | ◎ |
| LTS (Reflowed) | — | 0.35 | 6.0 | ● |
| Ni-preplated LTS (No reflowed) | 15 | 0.40 | 5.5 | ○ |
| Ni-coated steel | 600 | — | 6.0 | △ |

Thickness : 0.21 mm
Steel type: Al-killed-cc

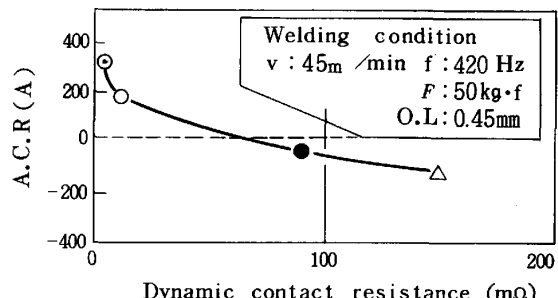


Fig. 1. Relationship between dynamic contact resistance and A.C.R.

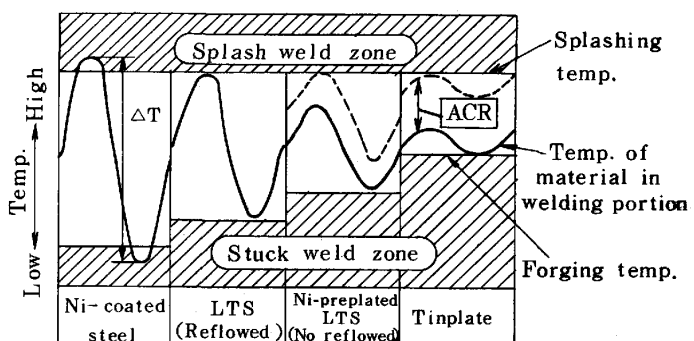


Fig. 2. Relationship between minimum forging temperature, contact resistance and A.C.R.